



Laboratorium EMVO Sp. J.

ul. Jasna 1
00-013 Warszawa

tel. +48 22 780 29 64
e-mail: laboratorium@emvo.pl



AB 1630

Sprawozdanie z pomiarów pól elektromagnetycznych - środowisko ogólne nr 100/01/OŚ/2022 - P4 - W



| | |
|-------------------|--|
| Nr i nazwa stacji | CIE3302B |
| Adres | Ciechanów. Sierakowskiego 14, pow. ciechanowski, woj. mazowieckie |
| Opracowanie | Specjalista ds. pomiarów |
| Autoryzacja | Kierownik Laboratorium |
| Podpis | Podpis jest prawidłowy ▲ Dokument podpisany przez Data: 2022.02.03 09:10:47 Powód: Zatwierdzam dokument |
| Data | 2022-01-31 |

Spis treści

| | |
|--|----|
| 1. Informacje ogólne..... | 3 |
| 2. Podstawa prawna. | 3 |
| 3. Opis pomiarów..... | 3 |
| 4. Zróżnicowanie dopuszczalne poziomy pól elektromagnetycznych. | 5 |
| 5. Charakterystyka źródeł PEM..... | 5 |
| 6. Wyniki pomiarów..... | 6 |
| 7. Stwierdzenie zgodności | 11 |
| 8. Oświadczenie. | 12 |
| 9. Spis załączników. | 12 |

1. Informacje ogólne.

| | |
|---|--|
| Zleceniodawca | P4 sp. z.o.o., ul. Wynalazek 1, 02-677 Warszawa osoba udzielająca informacji – Monika Jankowska |
| Istotne informacje dostarczone przez klienta | komplet informacji niezbędnych do wykonania pomiarów i opracowania sprawozdania |
| Dane otrzymane od klienta mogące mieć wpływ na ważność wyników | Dane anten sektorowych, dane anten radioliniowych, parametry pracy instalacji, poprawka pomiarowa, ustawienie pochylenia anten |
| Prowadzący instalację | P4 sp. z.o.o., ul. Wynalazek 1, 02-677 Warszawa |
| Lokalizacja obiektu | Ciechanów, Sierakowskiego 14, pow. ciechanowski, woj. mazowieckie |
| Miejsce instalacji anten | stalowa wieża kratowa |
| Miejsce instalacji urządzeń | outdoor |
| Osoby wykonujące pomiar | |
| Data wykonania pomiaru | 2022-01-31 |
| Czas rozpoczęcia pomiaru | 09:08 |
| Czas zakończenia pomiaru | 11:28 |
| Temperatura na początku pomiaru [°C] | 0 |
| Temperatura na koniec pomiaru [°C] | 1 |
| Warunki atmosferyczne | Brak opadów. |
| Wilgotność na początku pomiaru [%] | 68 |
| Wilgotność na koniec pomiaru [%] | 65 |
| Inne źródła pól elektromagnetycznych oznaczone na załączniku graficznym | występują |
| Parametry pracy instalacji | eksploatacyjne |

2. Podstawa prawna.

2.1 Normy i rozporządzenia:

- Rozporządzeniem Ministra Klimatu z dnia 17 lutego 2020 r. w sprawie sposobów sprawdzania dotrzymania dopuszczalnych poziomów pól elektromagnetycznych w środowisku (Dz.U. 2020 poz. 258)
- Rozporządzenie Ministra Zdrowia z dnia 17 grudnia 2019 r. w sprawie dopuszczalnych poziomów pól elektromagnetycznych w środowisku (Dz.U. 2019 poz. 2448)
- Obwieszczenie Marszałka Sejmu Rzeczypospolitej Polskiej z dnia 19 lipca 2019 r. w sprawie ogłoszenia jednolitego tekstu ustawy - Prawo ochrony środowiska (Dz.U. 2019 poz. 1396).

3. Opis pomiarów.

Metodologia pomiarowa Pomiary w oparciu o Rozporządzeniem Ministra Klimatu z dnia 17 lutego 2020 r. w sprawie sposobów sprawdzania dotrzymania dopuszczalnych poziomów pól elektromagnetycznych w środowisku (Dz.U. 2020 poz. 258).

Cel badań Określenie wartości natężenia pola elektrycznego w miejscach dostępnych dla ludności.

| | |
|---|---|
| Opis zestawu pomiarowego | <p>Miernik Narda NBM 520, Sonda EF 9091, o zakresie pomiarowym 0,7 V/m - 400V/m pracująca w paśmie 0,1 – 90 GHz, świadectwo wydane przez Laboratorium Wzorców i Metrologii Pola Elektromagnetycznego, Instytut Telekomunikacji, Teleinformatyki i Akustyki Politechniki Wrocławskiej. Świadectwo ważne do 13.07.2023r.</p> <p>Miernik Narda NBM 520, Sonda EF 9091 pracująca w zakresie temperatury -10°C - +50°C oraz wilgotności 5% - 95%.</p> <p>Niepewność rozszerzona 59,6% przy poziomie ufności 95% z uwzględnieniem współczynnika rozszerzenia k=2.</p> |
| Wypożyczenie pomocnicze | <p>Termohigrometr Termoprodukt, typ: Termik+, nr identyfikacyjny 700618, świadectwo wzorcowania nr 1763/AH/19 z dn. 29.07.2019 r. wydane przez Laboratorium Pomiarowe "MUTECH".</p> <p>Przymiar wstępowy STABILA, nr identyfikacyjny 31WL, świadectwo wzorcowania nr 6W1/1826/19 z dn. 02.08.2019 r. wydane przez Dyrektora Okręgowego Urzędu Miar w Gdańsku.</p> <p>GPS Garmin 64s okresowo sprawdzany w punktach osnowy geodezyjnej klasy 3 na podstawie licencji punktu, zgodnie z procedurą sprawdzeń okresowych IS/PO16-11/03.</p> |
| Pomiary zostały wykonane | <ol style="list-style-type: none"> 1. na głównych i pomocniczych kierunkach pomiarowych, na kierunkach zbliżonych do azymutów anten oraz w dodatkowych pionach pomiarowych zgodnie z wymaganiami pkt 12, 13, 14 i 19 załącznika do rozporządzenia Ministra Klimatu z dnia 17 lutego 2020 r. (Dz. U. 2020, poz. 258), 2. na obszarze pomiarowym, dla którego, na podstawie uprzednio wykonanych obliczeń uzyskanych od zleceniodawcy, stwierdzono możliwość występowania pól elektromagnetycznych o poziomach zbliżonych do poziomów dopuszczalnych zgodnie z wymaganiami pkt 5 ppkt 2 oraz pkt 13 ppkt 1 załącznika do rozporządzenia Ministra Klimatu z dnia 17 lutego 2020 r. (Dz. U. 2020, poz. 258). Wyniki obliczeń nie uwzględniały parametrów pracy instalacji innych operatorów występujących na obiekcie bądź w obszarze pomiarowym. 3. w miejscach dostępnych dla ludności. 4. miejsca niedostępne podczas wykonywania pomiarów wskazane zostały w pkt 6 (tabeli wyniki pomiarów) 5. wyniki pomiarów uzyskane zostały przy uwzględnieniu poprawek pomiarowych przekazanych przez zleceniodawcę oraz przy rzeczywistych warunkach pracy instalacji innych operatorów (w przypadku występowania). W takiej sytuacji uwzględniono jednolitą poprawkę pomiarową wynoszącą 2,00 |
| Szczególne warunki podczas wykonywania pomiarów | <p>Pomiary wykonane zostały podczas obowiązywania w kraju stanu epidemii, zgodnie z art. 122a ust. 1b Ustawy z dnia 27 kwietnia 2001 r. – Prawo ochrony środowiska (Dz. U. z 2019 r. poz. 1396, z późn. zm.9))</p> |
| Warunki pracy urządzeń nadawczych | <p>Podczas pomiarów zostały uwzględnione poprawki pomiarowe przekazane przez zleceniodawcę, umożliwiające uwzględnienie maksymalnych parametrów pracy instalacji zgodnie z pkt 7 załącznika do Rozporządzeniem Ministra Klimatu z dnia 17 lutego 2020 r. w sprawie sposobów sprawdzania dotrzymania dopuszczalnych poziomów pól elektromagnetycznych w środowisku (Dz. U. 2020, poz. 258).</p> |

4. Zróżnicowanie dopuszczalne poziomy pól elektromagnetycznych.

Zakresy znajdują się w Dzienniku Ustaw z dnia 17 grudnia 2019 r. przedstawione są w tabeli nr 2 (Dz. U. z 2019r. poz. 2448).

| Parametr fizyczny | Składowa elektryczna E (V/m) | Składowa magnetyczna H (A/m) | Gęstość mocy S (W/m ²) |
|---|------------------------------|------------------------------|------------------------------------|
| Zakres Częstotliwości pola elektromagnetycznego | | | |
| od 400 MHz do 2000 MHz | $1,375 \times f^{0,5}$ | $0,0037 \times f^{0,5}$ | f / 200 |
| od 2 GHz do 300 GHz | 61 | 0,16 | 10 |

5. Charakterystyka źródeł PEM.

Zgodnie z informacją otrzymaną od Klienta pomiary zostały wykonane przy ustawieniach pochylecia anten zgodnych z pkt. 13, ppkt 2 załącznika do rozporządzenia Ministra Klimatu z dnia 17 lutego 2020 roku.

Anteny sektorowe - dane otrzymane od klienta

| Charakterystyka promieniowania | | kierunkowa | | | | | | | |
|---------------------------------|---|------------------|------|------------------|-------|------------------|------|------|------|
| Rzeczywisty czas pracy [h/dobę] | | 24 | | | | | | | |
| Rodzaj wytwarzanego pola | | stacjonarne | | | | | | | |
| Lp | Wyszczególnienie | sektor 1 | | sektor 2 | | sektor 3 | | | |
| I | Nadajnik stacji bazowej: | | | | | | | | |
| 1 | Typ / Producent | DBS / Huawei | | | | | | | |
| 2 | Częstotliwość (pasmo) MHz | 2600 | 2100 | 1800 | 900 | 800 | 2600 | 2100 | 1800 |
| 3 | Maksymalna moc nadawana na sektor [dBm] | 49 | 48,6 | 50 | 46,02 | 46,02 | 49 | 48,6 | 50 |
| II | Obciążenie: | | | | | | | | |
| 1 | Typ anteny | Huawei AMB4520R0 | | Huawei ADU4517R0 | | Huawei AMB4520R0 | | | |
| 2 | Producent anteny | Huawei | | Huawei | | Huawei | | | |
| 3 | Ilość anten | 1 | | 1 | | 1 | | | |
| 4 | Azymut | 30 | | 60 | | 90 | | | |
| 5 | Zakres kątów pochylecia anten [°] | 0,00-7,00 | | 0,00-8,00 | | 0,00-7,00 | | | |
| 6 | Wysokość zainst. n.p.t. [m] | 44,70 | | 44,70 | | 44,70 | | | |
| 7 | EIRP [W] | 19901 | | 3762 | | 19901 | | | |

| Charakterystyka promieniowania | | kierunkowa | | | | | | | |
|---------------------------------|---|------------------|------|------------------|-------|------------------|------|------|------|
| Rzeczywisty czas pracy [h/dobę] | | 24 | | | | | | | |
| Rodzaj wytwarzanego pola | | stacjonarne | | | | | | | |
| Lp | Wyszczególnienie | sektor 4 | | sektor 5 | | sektor 6 | | | |
| I | Nadajnik stacji bazowej: | | | | | | | | |
| 1 | Typ / Producent | DBS / Huawei | | | | | | | |
| 2 | Częstotliwość (pasmo) MHz | 2600 | 2100 | 1800 | 900 | 800 | 2600 | 2100 | 1800 |
| 3 | Maksymalna moc nadawana na sektor [dBm] | 49 | 48,6 | 50 | 46,02 | 46,02 | 49 | 48,6 | 50 |
| II | Obciążenie: | | | | | | | | |
| 1 | Typ anteny | Huawei AMB4520R0 | | Huawei ADU4517R0 | | Huawei AMB4520R0 | | | |
| 2 | Producent anteny | Huawei | | Huawei | | Huawei | | | |
| 3 | Ilość anten | 1 | | 1 | | 1 | | | |
| 4 | Azymut | 150 | | 180 | | 210 | | | |
| 5 | Zakres kątów pochylecia anten [°] | 0,00-6,00 | | 0,00-9,00 | | 0,00-6,00 | | | |
| 6 | Wysokość zainst. n.p.t. [m] | 44,70 | | 44,70 | | 44,70 | | | |
| 7 | EIRP [W] | 19901 | | 3762 | | 19901 | | | |

„Bez pisemnej zgody Laboratorium niniejsze sprawozdanie nie może być powielane inaczej, jak tylko w całości. Ponadto wyniki dotyczą tylko badanych obiektów przywołanych w niniejszym sprawozdaniu z badań”

| | | | | | | | | | |
|---------------------------------|---|------------------|------|------------------|-------|------------------|------|------|------|
| Charakterystyka promieniowania | | kierunkowa | | | | | | | |
| Rzeczywisty czas pracy [h/dobę] | | 24 | | | | | | | |
| Rodzaj wytwarzanego pola | | stacjonarne | | | | | | | |
| Lp | Wyszczególnienie | sektor 7 | | sektor 8 | | sektor 9 | | | |
| Nadajnik stacji bazowej: | | | | | | | | | |
| 1 | Typ / Producent | DBS / Huawei | | | | | | | |
| 2 | Częstotliwość (pasmo) MHz | 2600 | 2100 | 1800 | 900 | 800 | 2600 | 2100 | 1800 |
| 3 | Maksymalna moc nadawana na sektor [dBm] | 49 | 48,6 | 50 | 46,02 | 46,02 | 49 | 48,6 | 50 |
| Obciążenie: | | | | | | | | | |
| 1 | Typ anteny | Huawei AMB4520R0 | | Huawei ADU4517R0 | | Huawei AMB4520R0 | | | |
| 2 | Producent anteny | Huawei | | Huawei | | Huawei | | | |
| 3 | Ilość anten | 1 | | 1 | | 1 | | | |
| 4 | Azymut | 270 | | 300 | | 330 | | | |
| 5 | Zakres kątów pochylenia anten [°] | 0,00-8,00 | | 0,00-10,00 | | 0,00-7,00 | | | |
| 6 | Wysokość zainst. n.p.t. [m] | 44,70 | | 44,70 | | 44,70 | | | |
| 7 | EIRP [W] | 19901 | | 3762 | | 19901 | | | |

Anteny radioliniowe - dane otrzymane od klienta

| | | | | | | | |
|---------------------------------|------------------|---------------------------|---------------------|-----------------|---------------------|------------|------------------------|
| Charakterystyka promieniowania | | kierunkowa | | | | | |
| Rzeczywisty czas pracy [h/dobę] | | 24 | | | | | |
| Rodzaj wytwarzanego pola | | stacjonarne | | | | | |
| Linia radiowa | | Antena | | | | | |
| Lp | typ/producent | częstotliwość pracy [GHz] | moc wyjściowa [dBm] | typ/producent | średnica anteny [m] | azymut [°] | wysokość zainstal. [m] |
| 1 | OPTIX RTN/HUAWEI | 80 | 18 | VHLP1-80/Andrew | 0,3 | 77 | 44,00 |
| 2 | OPTIX RTN/HUAWEI | 80 | 18 | VHLP1-80/Andrew | 0,3 | 311 | 44,00 |
| 3 | OPTIX RTN/HUAWEI | 80 | 18 | VHLP1-80/Andrew | 0,3 | 351 | 44,00 |

6. Wyniki pomiarów.

Wyniki pomiarów pól elektromagnetycznych dla celów ochrony środowiska przedstawia poniższa tabela. Piony pomiarowe zostały przedstawione w zał. 2.

| Nr PP | Pole-E [V/m] | Pole-E*kE,+U [V/m] | Pole-H [A/m] | Pole-H*kE,+U [A/m] | Wys. pomiaru [m] | Opis pionu | Uwagi | WME | WMH |
|-------|--------------|--------------------|--------------|--------------------|------------------|--------------------------------------|---|-------|-------|
| 1 | 1,0 | 3,19 | 0,003 | 0,008 | 0,3 - 2,0 | N: 52° 52' 51,6" E: 20° 36' 55,9" | otoczenie stacji nadawczej - ok. 50 m od obiektu wzdłuż gł. osi promieniowania - GKP | 0,114 | 0,116 |
| 2 | 0,8 | 2,55 | 0,002 | 0,007 | 0,3 - 2,0 | N: 52° 52' 52,6" E: 20° 36' 58,4" | otoczenie stacji nadawczej - ok. 100 m od obiektu wzdłuż gł. osi promieniowania - GKP | 0,091 | 0,093 |
| 3 | 0,7* | 2,55 | 0,002 | 0,007 | 0,3 - 2,0 | N: 52° 52' 54" E: 20° 36' 59,8" | otoczenie stacji nadawczej - ok. 150 m od obiektu wzdłuż gł. osi promieniowania - GKP | 0,091 | 0,093 |
| 4 | 0,7* | 2,55 | 0,002 | 0,007 | 0,3 - 2,0 | N: 52° 52' 55,6" E: 20° 37' 1,1" | otoczenie stacji nadawczej - ok. 200 m od obiektu wzdłuż gł. osi promieniowania - GKP | 0,091 | 0,093 |
| 5 | 0,7* | 2,55 | 0,002 | 0,007 | 0,3 - 2,0 | N: 52° 52' 56,9" E: 20° 37' 1,5" | otoczenie stacji nadawczej - ok. 250 m od obiektu wzdłuż gł. osi promieniowania - GKP | 0,091 | 0,093 |
| 6 | 0,7* | 2,55 | 0,002 | 0,007 | 0,3 - 2,0 | N: 52° 52' 57,7" E: 20° 37' 5,8" | otoczenie stacji nadawczej - ok. 300 m od obiektu wzdłuż gł. osi promieniowania - GKP | 0,091 | 0,093 |
| 7 | 0,7* | 2,55 | 0,002 | 0,007 | 0,3 - 2,0 | N: 52° 53' 0,1" E: 20° 37' 4,8" | otoczenie stacji nadawczej - ok. 350 m od obiektu wzdłuż gł. osi promieniowania - GKP | 0,091 | 0,093 |
| 8 | 1,1 | 3,51 | 0,003 | 0,009 | 0,3 - 2,0 | N: 52° 53' 1,5" E: 20° 37' 5,7" | otoczenie stacji nadawczej - ok. 400 m od obiektu wzdłuż gł. osi promieniowania - GKP | 0,125 | 0,128 |
| 9 | 1,1 | 3,51 | 0,003 | 0,009 | 0,3 - 2,0 | N: 52° 53' 2,7" E: 20° 37' 7" | otoczenie stacji nadawczej - ok. 450 m od obiektu wzdłuż gł. osi promieniowania - GKP | 0,125 | 0,128 |
| 10 | 0,7* | 2,55 | 0,002 | 0,007 | 0,3 - 2,0 | N: 52° 52' 51,1" E: 20° 36' 57" | otoczenie stacji nadawczej - ok. 50 m od obiektu wzdłuż gł. osi promieniowania - GKP | 0,091 | 0,093 |
| 11 | 0,8 | 2,55 | 0,002 | 0,007 | 0,3 - 2,0 | N: 52° 52' 51,5" E: 20° 36' 59,7" | otoczenie stacji nadawczej - ok. 100 m od obiektu wzdłuż gł. osi promieniowania - GKP | 0,091 | 0,093 |
| 12 | 0,8 | 2,55 | 0,002 | 0,007 | 0,3 - 2,0 | N: 52° 52' 52,5" E: 20° 37' 2,1" | otoczenie stacji nadawczej - ok. 150 m od obiektu wzdłuż gł. osi promieniowania - GKP | 0,091 | 0,093 |
| 13 | 0,8 | 2,55 | 0,002 | 0,007 | 0,3 - 2,0 | N: 52° 52' 53,8" E: 20° 37' 4,2" | otoczenie stacji nadawczej - ok. 200 m od obiektu wzdłuż gł. osi promieniowania - GKP | 0,091 | 0,093 |
| 14 | 0,9 | 2,87 | 0,002 | 0,008 | 0,3 - 2,0 | N: 52° 52' 54,2" E: 20° 37' 6,5" | otoczenie stacji nadawczej - ok. 250 m od obiektu wzdłuż gł. osi promieniowania - GKP | 0,103 | 0,104 |
| 15 | 1,4 | 4,47 | 0,004 | 0,012 | 0,3 - 2,0 | N: 52° 52' 55,1" E: 20° 37' 8,6" | otoczenie stacji nadawczej - ok. 300 m od obiektu wzdłuż gł. osi promieniowania - GKP | 0,160 | 0,162 |

| | | | | | | | | | |
|----|------|------|-------|-------|-----------|--------------------------------------|---|-------|-------|
| 16 | 2,2 | 7,02 | 0,006 | 0,019 | 0,3 - 2,0 | N: 52° 52' 55,7" E: 20° 37' 11,4" | otoczenie stacji nadawczej - ok. 350 m od obiektu wzdłuż gł. osi promieniowania - GKP | 0,251 | 0,255 |
| 17 | 1,0 | 3,19 | 0,003 | 0,008 | 0,3 - 2,0 | N: 52° 52' 56,6" E: 20° 37' 13,6" | otoczenie stacji nadawczej - ok. 400 m od obiektu wzdłuż gł. osi promieniowania - GKP | 0,114 | 0,116 |
| 18 | 0,9 | 2,87 | 0,002 | 0,008 | 0,3 - 2,0 | N: 52° 52' 57,2" E: 20° 37' 15,9" | otoczenie stacji nadawczej - ok. 450 m od obiektu wzdłuż gł. osi promieniowania - GKP | 0,103 | 0,104 |
| 19 | 1,0 | 3,19 | 0,003 | 0,008 | 0,3 - 2,0 | N: 52° 52' 49,7" E: 20° 36' 57,8" | otoczenie stacji nadawczej - ok. 50 m od obiektu wzdłuż gł. osi promieniowania - GKP | 0,114 | 0,116 |
| 20 | 1,1 | 3,51 | 0,003 | 0,009 | 0,3 - 2,0 | N: 52° 52' 50,7" E: 20° 36' 60" | otoczenie stacji nadawczej - ok. 100 m od obiektu wzdłuż gł. osi promieniowania - GKP | 0,125 | 0,128 |
| 21 | 0,8 | 2,55 | 0,002 | 0,007 | 0,3 - 2,0 | N: 52° 52' 50,4" E: 20° 37' 2,6" | otoczenie stacji nadawczej - ok. 150 m od obiektu wzdłuż gł. osi promieniowania - GKP | 0,091 | 0,093 |
| 22 | 0,9 | 2,87 | 0,002 | 0,008 | 0,3 - 2,0 | N: 52° 52' 50,7" E: 20° 37' 5" | otoczenie stacji nadawczej - ok. 200 m od obiektu wzdłuż gł. osi promieniowania - GKP | 0,103 | 0,104 |
| 23 | 1,5 | 4,79 | 0,004 | 0,013 | 0,3 - 2,0 | N: 52° 52' 50,5" E: 20° 37' 7,9" | otoczenie stacji nadawczej - ok. 250 m od obiektu wzdłuż gł. osi promieniowania - GKP | 0,171 | 0,174 |
| 24 | 1,0 | 3,19 | 0,003 | 0,008 | 0,3 - 2,0 | N: 52° 52' 50,2" E: 20° 37' 11" | otoczenie stacji nadawczej - ok. 300 m od obiektu wzdłuż gł. osi promieniowania - GKP | 0,114 | 0,116 |
| 25 | 0,8 | 2,55 | 0,002 | 0,007 | 0,3 - 2,0 | N: 52° 52' 50,3" E: 20° 37' 13,7" | otoczenie stacji nadawczej - ok. 350 m od obiektu wzdłuż gł. osi promieniowania - GKP | 0,091 | 0,093 |
| 26 | 0,7* | 2,55 | 0,002 | 0,007 | 0,3 - 2,0 | N: 52° 52' 50,1" E: 20° 37' 16,1" | otoczenie stacji nadawczej - ok. 400 m od obiektu wzdłuż gł. osi promieniowania - GKP | 0,091 | 0,093 |
| 27 | 0,7* | 2,55 | 0,002 | 0,007 | 0,3 - 2,0 | N: 52° 52' 50,1" E: 20° 37' 18" | otoczenie stacji nadawczej - ok. 450 m od obiektu wzdłuż gł. osi promieniowania - GKP | 0,091 | 0,093 |
| 28 | 1,2 | 3,83 | 0,003 | 0,010 | 0,3 - 2,0 | N: 52° 52' 49,1" E: 20° 36' 56,2" | otoczenie stacji nadawczej - ok. 50 m od obiektu wzdłuż gł. osi promieniowania - GKP | 0,137 | 0,139 |
| 29 | 1,0 | 3,19 | 0,003 | 0,008 | 0,3 - 2,0 | N: 52° 52' 47,4" E: 20° 36' 57,2" | otoczenie stacji nadawczej - ok. 100 m od obiektu wzdłuż gł. osi promieniowania - GKP | 0,114 | 0,116 |
| 30 | 0,7* | 2,55 | 0,002 | 0,007 | 0,3 - 2,0 | N: 52° 52' 46" E: 20° 36' 59,4" | otoczenie stacji nadawczej - ok. 150 m od obiektu wzdłuż gł. osi promieniowania - GKP | 0,091 | 0,093 |
| 31 | 0,7* | 2,55 | 0,002 | 0,007 | 0,3 - 2,0 | N: 52° 52' 44,6" E: 20° 36' 59,4" | otoczenie stacji nadawczej - ok. 200 m od obiektu wzdłuż gł. osi promieniowania - GKP | 0,091 | 0,093 |
| 32 | 0,7* | 2,55 | 0,002 | 0,007 | 0,3 - 2,0 | N: 52° 52' 43,1" E: 20° 37' 1,3" | otoczenie stacji nadawczej - ok. 250 m od obiektu wzdłuż gł. osi promieniowania - GKP | 0,091 | 0,093 |
| 33 | 0,8 | 2,55 | 0,002 | 0,007 | 0,3 - 2,0 | N: 52° 52' 42" E: 20° 37' 1,3" | otoczenie stacji nadawczej - ok. 300 m od obiektu wzdłuż gł. osi promieniowania - GKP | 0,091 | 0,093 |
| 34 | 0,7* | 2,55 | 0,002 | 0,007 | 0,3 - 2,0 | N: 52° 52' 40,7" E: 20° 37' 4,7" | otoczenie stacji nadawczej - ok. 350 m od obiektu wzdłuż gł. osi promieniowania - GKP | 0,091 | 0,093 |
| 35 | 0,7* | 2,55 | 0,002 | 0,007 | 0,3 - 2,0 | N: 52° 52' 38,9" E: 20° 37' 4,2" | otoczenie stacji nadawczej - ok. 400 m od obiektu wzdłuż gł. osi promieniowania - GKP | 0,091 | 0,093 |
| 36 | 0,8 | 2,55 | 0,002 | 0,007 | 0,3 - 2,0 | N: 52° 52' 37,2" E: 20° 37' 4,7" | otoczenie stacji nadawczej - ok. 450 m od obiektu wzdłuż gł. osi promieniowania - GKP | 0,091 | 0,093 |
| 37 | 1,3 | 4,15 | 0,003 | 0,011 | 0,3 - 2,0 | N: 52° 52' 48,8" E: 20° 36' 54,8" | otoczenie stacji nadawczej - ok. 50 m od obiektu wzdłuż gł. osi promieniowania - GKP | 0,148 | 0,151 |
| 38 | 1,0 | 3,19 | 0,003 | 0,008 | 0,3 - 2,0 | N: 52° 52' 47" E: 20° 36' 54,8" | otoczenie stacji nadawczej - ok. 100 m od obiektu wzdłuż gł. osi promieniowania - GKP | 0,114 | 0,116 |
| 39 | 0,8 | 2,55 | 0,002 | 0,007 | 0,3 - 2,0 | N: 52° 52' 45,5" E: 20° 36' 54,3" | otoczenie stacji nadawczej - ok. 150 m od obiektu wzdłuż gł. osi promieniowania - GKP | 0,091 | 0,093 |
| 40 | 1,0 | 3,19 | 0,003 | 0,008 | 0,3 - 2,0 | N: 52° 52' 43,7" E: 20° 36' 54,4" | otoczenie stacji nadawczej - ok. 200 m od obiektu wzdłuż gł. osi promieniowania - GKP | 0,114 | 0,116 |
| 41 | 0,7* | 2,55 | 0,002 | 0,007 | 0,3 - 2,0 | N: 52° 52' 42,4" E: 20° 36' 53,8" | otoczenie stacji nadawczej - ok. 250 m od obiektu wzdłuż gł. osi promieniowania - GKP | 0,091 | 0,093 |
| 42 | 0,7* | 2,55 | 0,002 | 0,007 | 0,3 - 2,0 | N: 52° 52' 40,9" E: 20° 36' 53,6" | otoczenie stacji nadawczej - ok. 300 m od obiektu wzdłuż gł. osi promieniowania - GKP | 0,091 | 0,093 |
| 43 | 0,7* | 2,55 | 0,002 | 0,007 | 0,3 - 2,0 | N: 52° 52' 39,1" E: 20° 36' 54,1" | otoczenie stacji nadawczej - ok. 350 m od obiektu wzdłuż gł. osi promieniowania - GKP | 0,091 | 0,093 |
| 44 | 0,7* | 2,55 | 0,002 | 0,007 | 0,3 - 2,0 | N: 52° 52' 37,2" E: 20° 36' 55,7" | otoczenie stacji nadawczej - ok. 400 m od obiektu wzdłuż gł. osi promieniowania - GKP | 0,091 | 0,093 |
| 45 | 0,7* | 2,55 | 0,002 | 0,007 | 0,3 - 2,0 | N: 52° 52' 35,6" E: 20° 36' 54,2" | otoczenie stacji nadawczej - ok. 450 m od obiektu wzdłuż gł. osi promieniowania - GKP | 0,091 | 0,093 |
| 46 | 1,1 | 3,51 | 0,003 | 0,009 | 0,3 - 2,0 | N: 52° 52' 49,1" E: 20° 36' 53,7" | otoczenie stacji nadawczej - ok. 50 m od obiektu wzdłuż gł. osi promieniowania - GKP | 0,125 | 0,128 |
| 47 | 0,7* | 2,55 | 0,002 | 0,007 | 0,3 - 2,0 | N: 52° 52' 47,6" E: 20° 36' 51,8" | otoczenie stacji nadawczej - ok. 100 m od obiektu wzdłuż gł. osi promieniowania - GKP | 0,091 | 0,093 |
| 48 | 0,7* | 2,55 | 0,002 | 0,007 | 0,3 - 2,0 | N: 52° 52' 46" E: 20° 36' 50" | otoczenie stacji nadawczej - ok. 150 m od obiektu wzdłuż gł. osi promieniowania - GKP | 0,091 | 0,093 |

„Bez pisemnej zgody Laboratorium niniejsze sprawozdanie nie może być powielane inaczej, jak tylko w całości. Ponadto wyniki dotyczą tylko badanych obiektów przywołanych w niniejszym sprawozdaniu z badań”
100/01/OŚ/2022 - P4 - W

| | | | | | | | | | |
|----|------|------|-------|-------|-----------|--------------------------------------|---|-------|-------|
| 49 | 0,8 | 2,55 | 0,002 | 0,007 | 0,3 - 2,0 | N: 52° 52' 45,3" E: 20° 36' 48,2" | otoczenie stacji nadawczej - ok. 200 m od obiektu wzdłuż gł. osi promieniowania - GKP | 0,091 | 0,093 |
| 50 | 1,0 | 3,19 | 0,003 | 0,008 | 0,3 - 2,0 | N: 52° 52' 43,8" E: 20° 36' 46,9" | otoczenie stacji nadawczej - ok. 250 m od obiektu wzdłuż gł. osi promieniowania - GKP | 0,114 | 0,116 |
| 51 | 0,8 | 2,55 | 0,002 | 0,007 | 0,3 - 2,0 | N: 52° 52' 42,3" E: 20° 36' 45,7" | otoczenie stacji nadawczej - ok. 300 m od obiektu wzdłuż gł. osi promieniowania - GKP | 0,091 | 0,093 |
| 52 | 1,3 | 4,15 | 0,003 | 0,011 | 0,3 - 2,0 | N: 52° 52' 41,1" E: 20° 36' 44,4" | otoczenie stacji nadawczej - ok. 350 m od obiektu wzdłuż gł. osi promieniowania - GKP | 0,148 | 0,151 |
| 53 | 0,7* | 2,55 | 0,002 | 0,007 | 0,3 - 2,0 | N: 52° 52' 39,2" E: 20° 36' 43,6" | otoczenie stacji nadawczej - ok. 400 m od obiektu wzdłuż gł. osi promieniowania - GKP | 0,091 | 0,093 |
| 54 | 0,7* | 2,55 | 0,002 | 0,007 | 0,3 - 2,0 | N: 52° 52' 37,8" E: 20° 36' 42,3" | otoczenie stacji nadawczej - ok. 450 m od obiektu wzdłuż gł. osi promieniowania - GKP | 0,091 | 0,093 |
| 55 | 1,0 | 3,19 | 0,003 | 0,008 | 0,3 - 2,0 | N: 52° 52' 50,5" E: 20° 36' 52,3" | otoczenie stacji nadawczej - ok. 50 m od obiektu wzdłuż gł. osi promieniowania - GKP | 0,114 | 0,116 |
| 56 | 1,0 | 3,19 | 0,003 | 0,008 | 0,3 - 2,0 | N: 52° 52' 50" E: 20° 36' 49" | otoczenie stacji nadawczej - ok. 100 m od obiektu wzdłuż gł. osi promieniowania - GKP | 0,114 | 0,116 |
| 57 | 0,7* | 2,55 | 0,002 | 0,007 | 0,3 - 2,0 | N: 52° 52' 50,5" E: 20° 36' 46,6" | otoczenie stacji nadawczej - ok. 150 m od obiektu wzdłuż gł. osi promieniowania - GKP | 0,091 | 0,093 |
| 58 | 0,7* | 2,55 | 0,002 | 0,007 | 0,3 - 2,0 | N: 52° 52' 50,4" E: 20° 36' 43,9" | otoczenie stacji nadawczej - ok. 200 m od obiektu wzdłuż gł. osi promieniowania - GKP | 0,091 | 0,093 |
| 59 | 0,8 | 2,55 | 0,002 | 0,007 | 0,3 - 2,0 | N: 52° 52' 50,6" E: 20° 36' 41,5" | otoczenie stacji nadawczej - ok. 250 m od obiektu wzdłuż gł. osi promieniowania - GKP | 0,091 | 0,093 |
| 60 | 0,9 | 2,87 | 0,002 | 0,008 | 0,3 - 2,0 | N: 52° 52' 50,5" E: 20° 36' 38,8" | otoczenie stacji nadawczej - ok. 300 m od obiektu wzdłuż gł. osi promieniowania - GKP | 0,103 | 0,104 |
| 61 | 0,7* | 2,55 | 0,002 | 0,007 | 0,3 - 2,0 | N: 52° 52' 50,6" E: 20° 36' 36,1" | otoczenie stacji nadawczej - ok. 350 m od obiektu wzdłuż gł. osi promieniowania - GKP | 0,091 | 0,093 |
| 62 | 0,7* | 2,55 | 0,002 | 0,007 | 0,3 - 2,0 | N: 52° 52' 50,6" E: 20° 36' 33,3" | otoczenie stacji nadawczej - ok. 400 m od obiektu wzdłuż gł. osi promieniowania - GKP | 0,091 | 0,093 |
| 63 | 0,7* | 2,55 | 0,002 | 0,007 | 0,3 - 2,0 | N: 52° 52' 50,8" E: 20° 36' 30,9" | otoczenie stacji nadawczej - ok. 450 m od obiektu wzdłuż gł. osi promieniowania - GKP | 0,091 | 0,093 |
| 64 | 1,2 | 3,83 | 0,003 | 0,010 | 0,3 - 2,0 | N: 52° 52' 51,2" E: 20° 36' 52,4" | otoczenie stacji nadawczej - ok. 50 m od obiektu wzdłuż gł. osi promieniowania - GKP | 0,137 | 0,139 |
| 65 | 0,9 | 2,87 | 0,002 | 0,008 | 0,3 - 2,0 | N: 52° 52' 52,1" E: 20° 36' 50,3" | otoczenie stacji nadawczej - ok. 100 m od obiektu wzdłuż gł. osi promieniowania - GKP | 0,103 | 0,104 |
| 66 | 0,7* | 2,55 | 0,002 | 0,007 | 0,3 - 2,0 | N: 52° 52' 52,8" E: 20° 36' 47,9" | otoczenie stacji nadawczej - ok. 150 m od obiektu wzdłuż gł. osi promieniowania - GKP | 0,091 | 0,093 |
| 67 | 0,7* | 2,55 | 0,002 | 0,007 | 0,3 - 2,0 | N: 52° 52' 53,9" E: 20° 36' 45,6" | otoczenie stacji nadawczej - ok. 200 m od obiektu wzdłuż gł. osi promieniowania - GKP | 0,091 | 0,093 |
| 68 | 0,7* | 2,55 | 0,002 | 0,007 | 0,3 - 2,0 | N: 52° 52' 54,4" E: 20° 36' 43" | otoczenie stacji nadawczej - ok. 250 m od obiektu wzdłuż gł. osi promieniowania - GKP | 0,091 | 0,093 |
| 69 | 0,9 | 2,87 | 0,002 | 0,008 | 0,3 - 2,0 | N: 52° 52' 55,3" E: 20° 36' 41" | otoczenie stacji nadawczej - ok. 300 m od obiektu wzdłuż gł. osi promieniowania - GKP | 0,103 | 0,104 |
| 70 | 0,7* | 2,55 | 0,002 | 0,007 | 0,3 - 2,0 | N: 52° 52' 56,1" E: 20° 36' 38,5" | otoczenie stacji nadawczej - ok. 350 m od obiektu wzdłuż gł. osi promieniowania - GKP | 0,091 | 0,093 |
| 71 | 0,7* | 2,55 | 0,002 | 0,007 | 0,3 - 2,0 | N: 52° 52' 57" E: 20° 36' 36,5" | otoczenie stacji nadawczej - ok. 400 m od obiektu wzdłuż gł. osi promieniowania - GKP | 0,091 | 0,093 |
| 72 | 0,9 | 2,87 | 0,002 | 0,008 | 0,3 - 2,0 | N: 52° 52' 57,7" E: 20° 36' 35,2" | otoczenie stacji nadawczej - ok. 450 m od obiektu wzdłuż gł. osi promieniowania - GKP | 0,103 | 0,104 |
| 73 | 1,0 | 3,19 | 0,003 | 0,008 | 0,3 - 2,0 | N: 52° 52' 51,8" E: 20° 36' 53,7" | otoczenie stacji nadawczej - ok. 50 m od obiektu wzdłuż gł. osi promieniowania - GKP | 0,114 | 0,116 |
| 74 | 0,9 | 2,87 | 0,002 | 0,008 | 0,3 - 2,0 | N: 52° 52' 53,5" E: 20° 36' 52,7" | otoczenie stacji nadawczej - ok. 100 m od obiektu wzdłuż gł. osi promieniowania - GKP | 0,103 | 0,104 |
| 75 | 1,4 | 4,47 | 0,004 | 0,012 | 0,3 - 2,0 | N: 52° 52' 54,6" E: 20° 36' 51,5" | otoczenie stacji nadawczej - ok. 150 m od obiektu wzdłuż gł. osi promieniowania - GKP | 0,160 | 0,162 |
| 76 | 0,7* | 2,55 | 0,002 | 0,007 | 0,3 - 2,0 | N: 52° 52' 56,1" E: 20° 36' 50,5" | otoczenie stacji nadawczej - ok. 200 m od obiektu wzdłuż gł. osi promieniowania - GKP | 0,091 | 0,093 |
| 77 | 0,7* | 2,55 | 0,002 | 0,007 | 0,3 - 2,0 | N: 52° 52' 57,3" E: 20° 36' 48,3" | otoczenie stacji nadawczej - ok. 250 m od obiektu wzdłuż gł. osi promieniowania - GKP | 0,091 | 0,093 |
| 78 | 0,7* | 2,55 | 0,002 | 0,007 | 0,3 - 2,0 | N: 52° 52' 58,8" E: 20° 36' 46,9" | otoczenie stacji nadawczej - ok. 300 m od obiektu wzdłuż gł. osi promieniowania - GKP | 0,091 | 0,093 |
| 79 | 0,7* | 2,55 | 0,002 | 0,007 | 0,3 - 2,0 | N: 52° 53' 0,1" E: 20° 36' 45,8" | otoczenie stacji nadawczej - ok. 350 m od obiektu wzdłuż gł. osi promieniowania - GKP | 0,091 | 0,093 |
| 80 | 0,7* | 2,55 | 0,002 | 0,007 | 0,3 - 2,0 | N: 52° 53' 1,6" E: 20° 36' 44,4" | otoczenie stacji nadawczej - ok. 400 m od obiektu wzdłuż gł. osi promieniowania - GKP | 0,091 | 0,093 |
| 81 | 0,7* | 2,55 | 0,002 | 0,007 | 0,3 - 2,0 | N: 52° 52' 51,3" E: 20° 37' 2,6" | otoczenie stacji nadawczej - ok. 150 m od obiektu wzdłuż gł. osi promieniowania - GKP | 0,091 | 0,093 |

„Bez pisemnej zgody Laboratorium niniejsze sprawozdanie nie może być powielane inaczej, jak tylko w całości. Ponadto wyniki dotyczą tylko badanych obiektów przywołanych w niniejszym sprawozdaniu z badań”
100/01/OŚ/2022 - P4 - W

| | | | | | | | | | |
|-----|------|------|-------|-------|-----------|--------------------------------------|---|-------|-------|
| 82 | 0,8 | 2,55 | 0,002 | 0,007 | 0,3 - 2,0 | N: 52° 52' 49,5" E: 20° 37' 2,7" | otoczenie stacji nadawczej - PKP | 0,091 | 0,093 |
| 83 | 0,7* | 2,55 | 0,002 | 0,007 | 0,3 - 2,0 | N: 52° 52' 49,4" E: 20° 36' 59,7" | otoczenie stacji nadawczej - PKP | 0,091 | 0,093 |
| 84 | 0,7* | 2,55 | 0,002 | 0,007 | 0,3 - 2,0 | N: 52° 52' 47,9" E: 20° 36' 58,5" | otoczenie stacji nadawczej - PKP | 0,091 | 0,093 |
| 85 | 0,9 | 2,87 | 0,002 | 0,008 | 0,3 - 2,0 | N: 52° 52' 46,8" E: 20° 36' 59,6" | otoczenie stacji nadawczej - PKP | 0,103 | 0,104 |
| 86 | 0,8 | 2,55 | 0,002 | 0,007 | 0,3 - 2,0 | N: 52° 52' 45,9" E: 20° 36' 57,5" | otoczenie stacji nadawczej - PKP | 0,091 | 0,093 |
| 87 | 0,8 | 2,55 | 0,002 | 0,007 | 0,3 - 2,0 | N: 52° 52' 47" E: 20° 36' 56,3" | otoczenie stacji nadawczej - PKP | 0,091 | 0,093 |
| 88 | 0,9 | 2,87 | 0,002 | 0,008 | 0,3 - 2,0 | N: 52° 52' 45,7" E: 20° 36' 55,7" | otoczenie stacji nadawczej - PKP | 0,103 | 0,104 |
| 89 | 0,8 | 2,55 | 0,002 | 0,007 | 0,3 - 2,0 | N: 52° 52' 45,5" E: 20° 36' 53,4" | otoczenie stacji nadawczej - PKP | 0,091 | 0,093 |
| 90 | 0,8 | 2,55 | 0,002 | 0,007 | 0,3 - 2,0 | N: 52° 52' 47,3" E: 20° 36' 52,8" | otoczenie stacji nadawczej - PKP | 0,091 | 0,093 |
| 91 | 0,8 | 2,55 | 0,002 | 0,007 | 0,3 - 2,0 | N: 52° 52' 45,8" E: 20° 36' 51,5" | otoczenie stacji nadawczej - PKP | 0,091 | 0,093 |
| 92 | 0,9 | 2,87 | 0,002 | 0,008 | 0,3 - 2,0 | N: 52° 52' 46,7" E: 20° 36' 49,4" | otoczenie stacji nadawczej - PKP | 0,103 | 0,104 |
| 93 | 0,7* | 2,55 | 0,002 | 0,007 | 0,3 - 2,0 | N: 52° 52' 48" E: 20° 36' 50,8" | otoczenie stacji nadawczej - PKP | 0,091 | 0,093 |
| 94 | 0,8 | 2,55 | 0,002 | 0,007 | 0,3 - 2,0 | N: 52° 52' 49,3" E: 20° 36' 52,3" | otoczenie stacji nadawczej - PKP | 0,091 | 0,093 |
| 95 | 1,0 | 3,19 | 0,003 | 0,008 | 0,3 - 2,0 | N: 52° 52' 49,5" E: 20° 36' 46,7" | otoczenie stacji nadawczej - PKP | 0,114 | 0,116 |
| 96 | 0,9 | 2,87 | 0,002 | 0,008 | 0,3 - 2,0 | N: 52° 52' 51,3" E: 20° 36' 46,7" | otoczenie stacji nadawczej - PKP | 0,103 | 0,104 |
| 97 | 1,1 | 3,51 | 0,003 | 0,009 | 0,3 - 2,0 | N: 52° 52' 51,1" E: 20° 36' 49,6" | otoczenie stacji nadawczej - PKP | 0,125 | 0,128 |
| 98 | 1,2 | 3,83 | 0,003 | 0,010 | 0,3 - 2,0 | N: 52° 52' 51,5" E: 20° 36' 50,6" | otoczenie stacji nadawczej - PKP | 0,137 | 0,139 |
| 99 | 1,1 | 3,51 | 0,003 | 0,009 | 0,3 - 2,0 | N: 52° 52' 52,1" E: 20° 36' 47,3" | otoczenie stacji nadawczej - PKP | 0,125 | 0,128 |
| 100 | 1,3 | 4,15 | 0,003 | 0,011 | 0,3 - 2,0 | N: 52° 52' 53,7" E: 20° 36' 48,3" | otoczenie stacji nadawczej - ok. 150 m od obiektu wzdłuż gł. osi promieniowania - GKP | 0,148 | 0,151 |
| 101 | 1,1 | 3,51 | 0,003 | 0,009 | 0,3 - 2,0 | N: 52° 52' 52,7" E: 20° 36' 50,7" | otoczenie stacji nadawczej - ok. 100 m od obiektu wzdłuż gł. osi promieniowania - GKP | 0,125 | 0,128 |
| 102 | 0,9 | 2,87 | 0,002 | 0,008 | 0,3 - 2,0 | N: 52° 52' 54,4" E: 20° 36' 49,3" | otoczenie stacji nadawczej - PKP | 0,103 | 0,104 |
| 103 | 0,7* | 2,55 | 0,002 | 0,007 | 0,3 - 2,0 | N: 52° 52' 55,1" E: 20° 36' 53,6" | otoczenie stacji nadawczej - ok. 150 m od obiektu wzdłuż gł. osi promieniowania - GKP | 0,091 | 0,093 |
| 104 | 0,9 | 2,87 | 0,002 | 0,008 | 0,3 - 2,0 | N: 52° 52' 52" E: 20° 36' 54,7" | otoczenie stacji nadawczej - ok. 50 m od obiektu wzdłuż gł. osi promieniowania - GKP | 0,103 | 0,104 |
| 105 | 0,7* | 2,55 | 0,002 | 0,007 | 0,3 - 2,0 | N: 52° 52' 53,7" E: 20° 36' 56,2" | otoczenie stacji nadawczej - PKP | 0,091 | 0,093 |
| 106 | 0,7* | 2,55 | 0,002 | 0,007 | 0,3 - 2,0 | N: 52° 52' 55" E: 20° 36' 57,7" | otoczenie stacji nadawczej - PKP | 0,091 | 0,093 |
| A | 1,3 | 4,15 | 0,003 | 0,011 | 0,3 - 2,0 | N: 52° 52' 49,8" E: 20° 36' 54,7" | Zygmunta Sierakowskiego 14, pomiar przed wejściem - DPP | 0,148 | 0,151 |
| B | 1,2 | 3,83 | 0,003 | 0,010 | 0,3 - 2,0 | N: 52° 52' 49,8" E: 20° 36' 52,6" | Zygmunta Sierakowskiego 16, pomiar przed wejściem - DPP | 0,137 | 0,139 |
| C | 1,6 | 5,11 | 0,004 | 0,014 | 0,3 - 2,0 | N: 52° 52' 48,6" E: 20° 36' 52,7" | Zygmunta Sierakowskiego 9, pomiar na IV piętrze przy oknie na klatce schodowej - DPP | 0,182 | 0,186 |
| D | 0,8 | 2,55 | 0,002 | 0,007 | 0,3 - 2,0 | N: 52° 52' 49,8" E: 20° 36' 51,3" | Zygmunta Sierakowskiego 18, pomiar przed wejściem - DPP | 0,091 | 0,093 |
| E | 1,0 | 3,19 | 0,003 | 0,008 | 0,3 - 2,0 | N: 52° 52' 50,8" E: 20° 36' 51,2" | Zygmunta Sierakowskiego 18, pomiar przed wejściem - DPP | 0,114 | 0,116 |
| F | 0,7* | 2,55 | 0,002 | 0,007 | 0,3 - 2,0 | N: 52° 52' 50" E: 20° 36' 50" | Zygmunta Sierakowskiego 20, pomiar przed wejściem - DPP | 0,091 | 0,093 |
| G | 1,1 | 3,51 | 0,003 | 0,009 | 0,3 - 2,0 | N: 52° 52' 48,9" E: 20° 36' 50,5" | Zygmunta Sierakowskiego 13, pomiar przed wejściem - DPP | 0,125 | 0,128 |
| H | 1,4 | 4,47 | 0,004 | 0,012 | 0,3 - 2,0 | N: 52° 52' 49,1" E: 20° 36' 49,7" | Zygmunta Sierakowskiego 15, pomiar przed wejściem - DPP | 0,160 | 0,162 |

„Bez pisemnej zgody Laboratorium niniejsze sprawozdanie nie może być powielane inaczej, jak tylko w całości. Ponadto wyniki dotyczą tylko badanych obiektów przywołanych w niniejszym sprawozdaniu z badań”

| | | | | | | | | | |
|----|------|------|-------|-------|-----------|--------------------------------------|---|-------|-------|
| I | 0,9 | 2,87 | 0,002 | 0,008 | 0,3 - 2,0 | N: 52° 52' 50,5" E: 20° 36' 48,9" | Zygmunta Sierakowskiego 22, pomiar przed wejściem - DPP | 0,103 | 0,104 |
| J | 1,3 | 4,15 | 0,003 | 0,011 | 0,3 - 2,0 | N: 52° 52' 52,1" E: 20° 36' 49" | Wyrzykowskiego 3, pomiar przed wejściem - DPP | 0,148 | 0,151 |
| L | 0,9 | 2,87 | 0,002 | 0,008 | 0,3 - 2,0 | N: 52° 52' 56" E: 20° 36' 48,7" | 17 stycznia 28a, pomiar przed wejściem - DPP | 0,103 | 0,104 |
| M | 0,8 | 2,55 | 0,002 | 0,007 | 0,3 - 2,0 | N: 52° 52' 55,7" E: 20° 36' 49,9" | 17 stycznia 28, pomiar przed wejściem - DPP | 0,091 | 0,093 |
| N | 1,2 | 3,83 | 0,003 | 0,010 | 0,3 - 2,0 | N: 52° 52' 54,2" E: 20° 36' 50,3" | studio fotograficzne, pomiar przed wejściem - DPP | 0,137 | 0,139 |
| O | 0,7* | 2,55 | 0,002 | 0,007 | 0,3 - 2,0 | N: 52° 52' 53,3" E: 20° 36' 51,8" | teren budowy, pomiar przed wejściem - DPP | 0,091 | 0,093 |
| P | 0,7* | 2,55 | 0,002 | 0,007 | 0,3 - 2,0 | N: 52° 52' 52,2" E: 20° 36' 51,6" | teren budowy, pomiar przed wejściem - DPP | 0,091 | 0,093 |
| Q | 0,9 | 2,87 | 0,002 | 0,008 | 0,3 - 2,0 | N: 52° 52' 53,4" E: 20° 36' 54,3" | 17 stycznia 7, pomiar przed wejściem - DPP | 0,103 | 0,104 |
| R | 0,8 | 2,55 | 0,002 | 0,007 | 0,3 - 2,0 | N: 52° 52' 53,1" E: 20° 36' 57,5" | 17 stycznia 7, pomiar przed wejściem - DPP | 0,091 | 0,093 |
| S | 0,7* | 2,55 | 0,002 | 0,007 | 0,3 - 2,0 | N: 52° 52' 55,3" E: 20° 36' 59,8" | 17 stycznia 8, pomiar przed wejściem - DPP | 0,091 | 0,093 |
| T | 0,7* | 2,55 | 0,002 | 0,007 | 0,3 - 2,0 | N: 52° 52' 56,6" E: 20° 37' 0,1" | ul. Jana Kilińskiego 12, pomiar przed wejściem - DPP | 0,091 | 0,093 |
| U | 0,7* | 2,55 | 0,002 | 0,007 | 0,3 - 2,0 | N: 52° 52' 56,9" E: 20° 37' 2,2" | ul. Śląska 2, pomiar przed wejściem - DPP | 0,091 | 0,093 |
| V | 0,7* | 2,55 | 0,002 | 0,007 | 0,3 - 2,0 | N: 52° 52' 57,5" E: 20° 37' 2,1" | plac Jana Pawła II 10, pomiar przed wejściem - DPP | 0,091 | 0,093 |
| W | 0,7* | 2,55 | 0,002 | 0,007 | 0,3 - 2,0 | N: 52° 52' 58,8" E: 20° 37' 2,4" | skład podatkowy, pomiar przed wejściem - DPP | 0,091 | 0,093 |
| X | 0,7* | 2,55 | 0,002 | 0,007 | 0,3 - 2,0 | N: 52° 52' 58,1" E: 20° 37' 2,7" | skład podatkowy, pomiar przed wejściem - DPP | 0,091 | 0,093 |
| Y | 1,5 | 4,79 | 0,004 | 0,013 | 0,3 - 2,0 | N: 52° 52' 57,1" E: 20° 37' 14,2" | ul. Śląska 1, pomiar przed wejściem - DPP | 0,171 | 0,174 |
| Z | 0,8 | 2,55 | 0,002 | 0,007 | 0,3 - 2,0 | N: 52° 52' 56" E: 20° 37' 13,2" | ul. Śląska 2, pomiar przed wejściem - DPP | 0,091 | 0,093 |
| Z1 | 1,1 | 3,51 | 0,003 | 0,009 | 0,3 - 2,0 | N: 52° 52' 50,2" E: 20° 37' 12,8" | ul. Pułku Ułanów Legionowych 3, pomiar przed wejściem - DPP | 0,125 | 0,128 |
| Z2 | 0,8 | 2,55 | 0,002 | 0,007 | 0,3 - 2,0 | N: 52° 52' 49,9" E: 20° 37' 8,2" | ul. Pułku Ułanów Legionowych 8, pomiar przed wejściem - DPP | 0,091 | 0,093 |
| Z3 | 0,7* | 2,55 | 0,002 | 0,007 | 0,3 - 2,0 | N: 52° 52' 50,9" E: 20° 37' 8,8" | ul. Pułku Ułanów Legionowych 6, pomiar przed wejściem - DPP | 0,091 | 0,093 |
| Z4 | 0,7* | 2,55 | 0,002 | 0,007 | 0,3 - 2,0 | N: 52° 52' 50,2" E: 20° 37' 5,6" | Zambek 17, pomiar przed wejściem - DPP | 0,091 | 0,093 |
| Z5 | 0,7* | 2,55 | 0,002 | 0,007 | 0,3 - 2,0 | N: 52° 52' 50,1" E: 20° 37' 3,6" | Zambek 16, pomiar przed wejściem - DPP | 0,091 | 0,093 |
| ZA | 0,7* | 2,55 | 0,002 | 0,007 | 0,3 - 2,0 | N: 52° 52' 53,1" E: 20° 37' 3,4" | ul. Warszawska 2, pomiar przed wejściem - DPP | 0,091 | 0,093 |
| ZB | 0,9 | 2,87 | 0,002 | 0,008 | 0,3 - 2,0 | N: 52° 52' 53,3" E: 20° 37' 1,4" | 17 stycznia 3, pomiar przed wejściem - DPP | 0,103 | 0,104 |
| ZC | 0,7* | 2,55 | 0,002 | 0,007 | 0,3 - 2,0 | N: 52° 52' 52,2" E: 20° 36' 59,2" | ul. Jana Kilińskiego 20, pomiar przed wejściem - DPP | 0,091 | 0,093 |
| ZD | 0,7* | 2,55 | 0,002 | 0,007 | 0,3 - 2,0 | N: 52° 52' 52,3" E: 20° 37' 0,8" | ul. Jana Kilińskiego 7, pomiar przed wejściem - DPP | 0,091 | 0,093 |
| ZE | 0,7* | 2,55 | 0,002 | 0,007 | 0,3 - 2,0 | N: 52° 52' 51,1" E: 20° 36' 58,8" | ul. Jana Kilińskiego 20a, pomiar przed wejściem - DPP | 0,091 | 0,093 |
| ZF | 1,1 | 3,51 | 0,003 | 0,009 | 0,3 - 2,0 | N: 52° 52' 49,9" E: 20° 37' 0,7" | ul. Jana Kilińskiego 9, pomiar przed wejściem - DPP | 0,125 | 0,128 |
| ZG | 1,4 | 4,47 | 0,004 | 0,012 | 0,3 - 2,0 | N: 52° 52' 50,2" E: 20° 36' 58,2" | ul. Jana Kilińskiego 24, pomiar przed wejściem - DPP | 0,160 | 0,162 |
| ZH | 1,2 | 3,83 | 0,003 | 0,010 | 0,3 - 2,0 | N: 52° 52' 49,9" E: 20° 36' 56,8" | Zygmunta Sierakowskiego 12, pomiar przed wejściem - DPP | 0,137 | 0,139 |
| ZI | 0,8 | 2,55 | 0,002 | 0,007 | 0,3 - 2,0 | N: 52° 52' 49,1" E: 20° 36' 58,1" | Zygmunta Sierakowskiego 4, pomiar przed wejściem - DPP | 0,091 | 0,093 |
| ZJ | 1,5 | 4,79 | 0,004 | 0,013 | 0,3 - 2,0 | N: 52° 52' 48,2" E: 20° 36' 57,5" | Małgorzacka 1, pomiar przed wejściem - DPP | 0,171 | 0,174 |
| ZK | 1,5 | 4,79 | 0,004 | 0,013 | 0,3 - 2,0 | N: 52° 52' 47,6" E: 20° 36' 56" | Małgorzacka 3, pomiar przed wejściem - DPP | 0,171 | 0,174 |

„Bez pisemnej zgody Laboratorium niniejsze sprawozdanie nie może być powielane inaczej, jak tylko w całości. Ponadto wyniki dotyczą tylko badanych obiektów przywołanych w niniejszym sprawozdaniu z badań”

| | | | | | | | | | |
|-----|------|------|-------|-------|-----------|--------------------------------------|---|-------|-------|
| ZL | 0,7* | 2,55 | 0,002 | 0,007 | 0,3 - 2,0 | N: 52° 52' 46,7" E: 20° 36' 58,3" | ul. Pijanowskiego 5, pomiar przed wejściem - DPP | 0,091 | 0,093 |
| ZM | 0,7* | 2,55 | 0,002 | 0,007 | 0,3 - 2,0 | N: 52° 52' 45,3" E: 20° 36' 59,7" | Z. Herberta 3, pomiar przed wejściem - DPP | 0,091 | 0,093 |
| ZN | 0,7* | 2,55 | 0,002 | 0,007 | 0,3 - 2,0 | N: 52° 52' 43,6" E: 20° 37' 0,8" | Kopernika 8, pomiar przed wejściem - DPP | 0,091 | 0,093 |
| ZO | 0,7* | 2,55 | 0,002 | 0,007 | 0,3 - 2,0 | N: 52° 52' 40,5" E: 20° 37' 3,8" | ul. Warszawska 54, pomiar przed wejściem - DPP | 0,091 | 0,093 |
| ZP | 0,7* | 2,55 | 0,002 | 0,007 | 0,3 - 2,0 | N: 52° 52' 38,8" E: 20° 37' 5,2" | ul. Warszawska 53, pomiar przed wejściem - DPP | 0,091 | 0,093 |
| ZQ | 1,1 | 3,51 | 0,003 | 0,009 | 0,3 - 2,0 | N: 52° 52' 47,1" E: 20° 36' 53,8" | Małgorzacka 1, pomiar przed wejściem - DPP | 0,125 | 0,128 |
| ZR | 0,8 | 2,55 | 0,002 | 0,007 | 0,3 - 2,0 | N: 52° 52' 45,1" E: 20° 36' 55,3" | Małgorzacka 9, pomiar przed wejściem - DPP | 0,091 | 0,093 |
| ZS | 0,7* | 2,55 | 0,002 | 0,007 | 0,3 - 2,0 | N: 52° 52' 44,3" E: 20° 36' 55,1" | Kopernika 8, pomiar przed wejściem - DPP | 0,091 | 0,093 |
| ZT | 0,7* | 2,55 | 0,002 | 0,007 | 0,3 - 2,0 | N: 52° 52' 42,8" E: 20° 36' 54,9" | Budynek szkoły, pomiar przed wejściem - DPP | 0,091 | 0,093 |
| ZU | 0,7* | 2,55 | 0,002 | 0,007 | 0,3 - 2,0 | N: 52° 52' 39,8" E: 20° 36' 55" | Strażacka 2, pomiar przed wejściem - DPP | 0,091 | 0,093 |
| ZV | 0,8 | 2,55 | 0,002 | 0,007 | 0,3 - 2,0 | N: 52° 52' 37,7" E: 20° 36' 54,5" | ul. Ściegiennego 10/18, pomiar przed wejściem - DPP | 0,091 | 0,093 |
| ZW | 0,7* | 2,55 | 0,002 | 0,007 | 0,3 - 2,0 | N: 52° 52' 47,1" E: 20° 36' 51,1" | ul. Sierakowska 9a, pomiar przed wejściem - DPP | 0,091 | 0,093 |
| ZX | 0,8 | 2,55 | 0,002 | 0,007 | 0,3 - 2,0 | N: 52° 52' 44,9" E: 20° 36' 50,1" | Kopernika 10, pomiar przed wejściem - DPP | 0,091 | 0,093 |
| ZY | 1,0 | 3,19 | 0,003 | 0,008 | 0,3 - 2,0 | N: 52° 52' 43,4" E: 20° 36' 48,1" | Kopernika 11, pomiar przed wejściem - DPP | 0,114 | 0,116 |
| ZZ | 0,8 | 2,55 | 0,002 | 0,007 | 0,3 - 2,0 | N: 52° 52' 42" E: 20° 36' 46,9" | Strażacka 6, pomiar przed wejściem - DPP | 0,091 | 0,093 |
| ZZA | 0,8 | 2,55 | 0,002 | 0,007 | 0,3 - 2,0 | N: 52° 52' 40,4" E: 20° 36' 45,1" | Strażacka 7, pomiar przed wejściem - DPP | 0,091 | 0,093 |
| ZZB | 0,7* | 2,55 | 0,002 | 0,007 | 0,3 - 2,0 | N: 52° 52' 39,8" E: 20° 36' 43,9" | Strażacka 7B, pomiar przed wejściem - DPP | 0,091 | 0,093 |

wynik pomiaru pole - E [V/m] - maksymalna wartość chwilowa zmierzona w danym pionie pomiarowym (uśredniona na podstawie punktu 11 Załącznika do Rozporządzenia Ministra Zdrowia)

* Wartość zmierzona poniżej zakresu akredytacji. Do obliczeń przyjęto wartość zgodną z dolną granicą akredytowanego zakresu pomiarowego metody.

GKP – główne kierunki pomiarowe

PKP – pomocnicze kierunki pomiarowe

DPP – dodatkowe punkty pomiarowe

PP – pion pomiarowy

U – niepewność pomiarowa dla współczynnika rozszerzenia $k=2$

k_E – poprawka pomiarowa badanej instalacji radiokomunikacyjnej podana przez operatora ($k_E=1,70$),

poprawka pomiarowa w przypadku oddziaływania innych instalacji radiokomunikacyjnych na badany obszar ($k_E=2,0$)

WME – wartość wskaźnikowa poziomu emisji pól elektromagnetycznych dla miejsc dostępnych dla ludności dla składowej elektrycznej pola

WMH – wartość wskaźnikowa poziomu emisji pól elektromagnetycznych dla miejsc dostępnych dla ludności dla składowej magnetycznej pola

Przyjęto najniższą dopuszczalną wartość składowej elektrycznej pola dla objętego pomiarami zakresu częstotliwości $\min(ME_{gr})= 28$ V/m oraz składowej magnetycznej $\min(MH_{gr})= 0,073$ A/m.

7. Stwierdzenie zgodności

Na podstawie wytycznych podanych w Rozporządzeniu Ministra Zdrowia z dnia 17 grudnia 2019 r. w sprawie dopuszczalnych poziomów pól elektromagnetycznych w środowisku (Dz.U. 2019 poz. 2448) oraz sposobów sprawdzania dotrzymania tych poziomów zgodnie z Rozporządzeniem Ministra Klimatu z dnia 17 lutego 2020 r. w sprawie sposobów sprawdzania dotrzymania dopuszczalnych poziomów pól elektromagnetycznych w środowisku (Dz.U. 2020 poz. 258) dotyczących źródła wymagań, które muszą być spełnione (załącznik do rozporządzenia Ministra Klimatu z dnia 17 lutego 2020 r. (poz. 258)), w oparciu o zasadę podejmowania decyzji zgodną z pkt 26 załącznika do rozporządzenia Ministra Klimatu z dnia 17 lutego 2020 r. (poz. 258), na podstawie wyników pomiarów pól elektromagnetycznych wykonanych w dniu 31.01.2022r. stwierdzono, iż w miejscach dostępnych dla ludności,

„Bez pisemnej zgody Laboratorium niniejsze sprawozdanie nie może być powielane inaczej, jak tylko w całości. Ponadto wyniki dotyczą tylko badanych obiektów przywołanych w niniejszym sprawozdaniu z badań”

dopuszczalne poziomy pól elektromagnetycznych w środowisku, określone w przepisach wydanych na podstawie art. 122 ust. 1 ustawy z dnia 27 kwietnia 2001 r. – Prawo ochrony środowiska, uznaje się za dotrzymane w obszarze pomiarowym, w którym w wyniku zastosowania sposobu sprawdzenia dotrzymania dopuszczalnych poziomów pól elektromagnetycznych w środowisku, udokumentowano, że żadna z wartości wskaźnikowych nie przekracza wartości 1.

8. Oświadczenie.

Wyniki badania odnoszą się wyłącznie do badanego obiektu.

Bez pisemnej zgody sprawozdanie nie może być powielane inaczej, jak tylko w całości.

Uwagi i zastrzeżenia przyjmowane są w formie pisemnej w ciągu 14 dni od daty otrzymania sprawozdania.

9. Spis załączników.

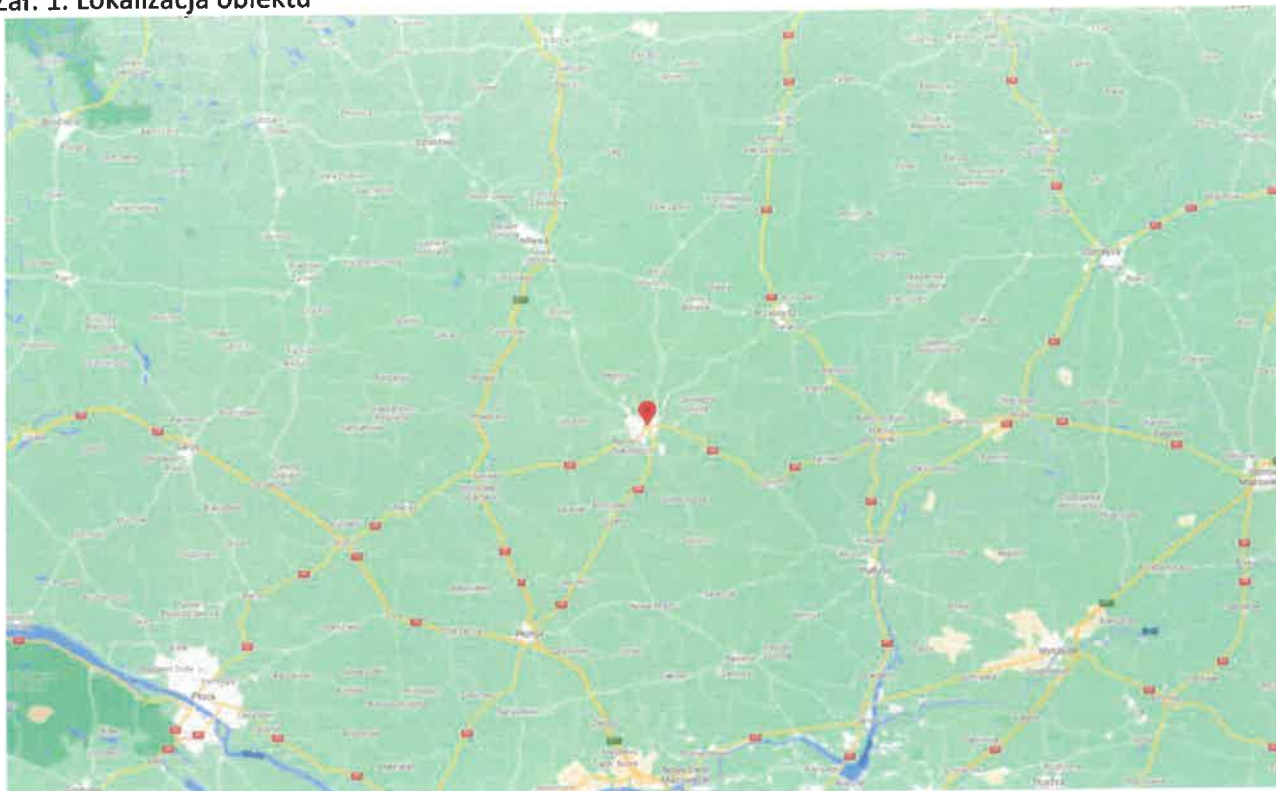
Załącznik 1. Lokalizacja obiektu.

Załącznik 2. Widok pionów pomiarowych

Załącznik 3. Załączniki graficzne.

Koniec sprawozdania

Załącznik 1. Lokalizacja obiektu

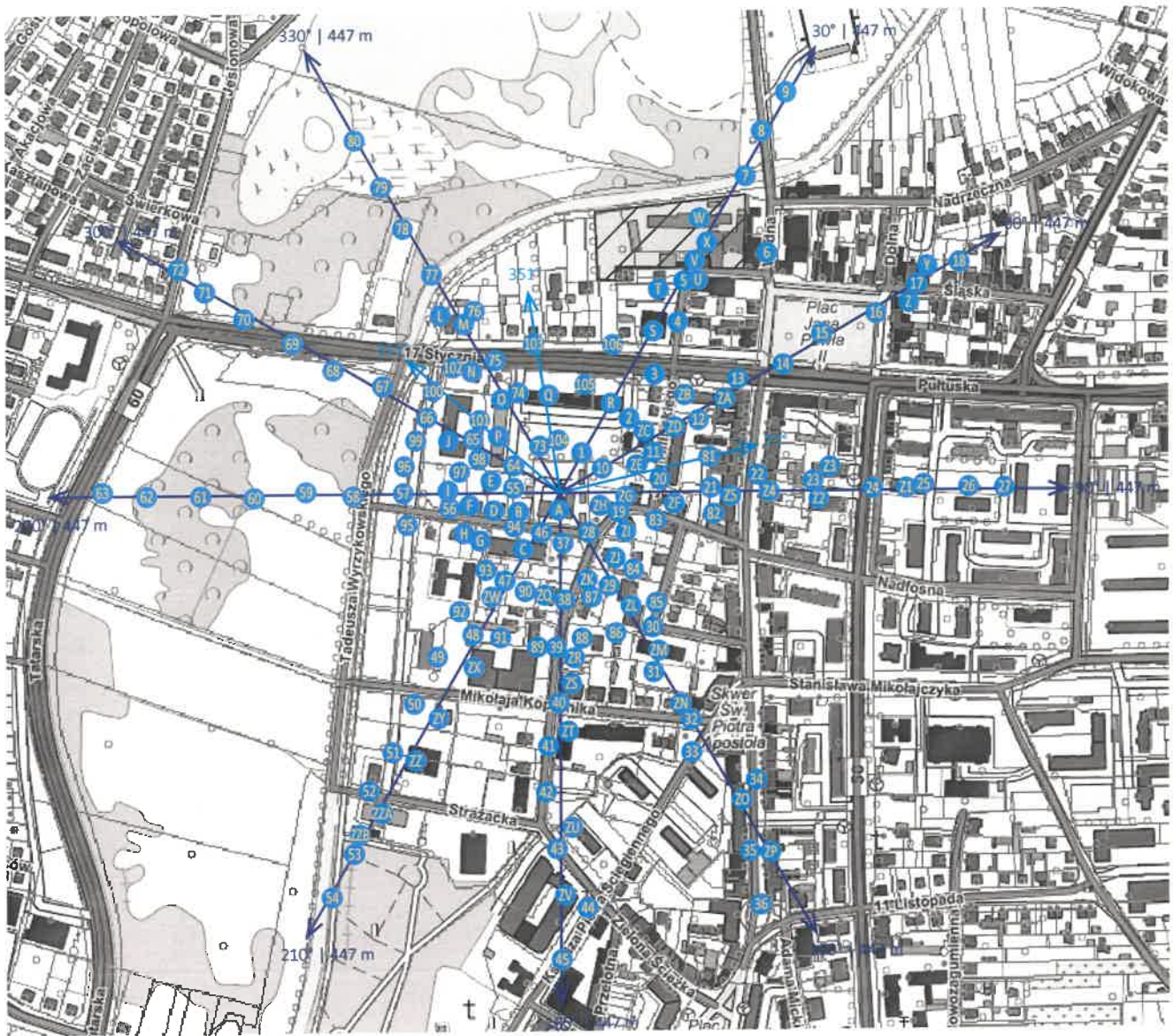


województwo: mazowieckie

| Współrzędne geograficzne | |
|--------------------------|------------------|
| długość: | E: 20° 36' 54,7" |
| szerokość: | N: 52° 52' 50,3" |

Załącznik 2. Widok pionów pomiarowych

N



LEGENDA:

- inna instalacja radiokomunikacyjna
- brak dostępu
- punkt pomiarowy z poprawką pomiarową podaną przez operatora
- punkt pomiarowy będący w zasięgu innych instalacji radiokomunikacyjnych z poprawką pomiarową 2,0
- antena sektorowa
- antena radioliniowa

Odległość, do której zostały wykonane pomiary mierząc od instalacji antenowej wynosi min. 447 m.

Skala: 1:6300

„Bez pisemnej zgody Laboratorium niniejsze sprawozdanie nie może być powielane inaczej, jak tylko w całości. Ponadto wyniki dotyczą tylko badanych obiektów przywołanych w niniejszym sprawozdaniu z badań”

Załącznik 3. Załączniki graficzne.

